

ВЫСОКОМОЛЕКУЛЯРНЫЕ СОЕДИНЕНИЯ

Том (A) XXXI

1989

№ 1

УДК 541.64:542.952

СТРУКТУРА МАКРОМОНОМЕРА ГЕПАРИНА И ОСОБЕННОСТИ ЕГО РАДИКАЛЬНОЙ ПОЛИМЕРИЗАЦИИ

Платэ Н. А., Малых А. В., Ужинова Л. Д., Панов В. П.,
Розенфельд М. А.

Синтезирован макромономер гепарина, изучена его структура и реакционная способность в реакции радикальной полимеризации. Оценено влияние концентрации инициатора и ионной силы раствора на молекуллярную массу и молекулярно-массовое распределение продуктов его гомополимеризации. Показано, что макромономер гепарина вступает в реакцию радикальной сополимеризации с акриламидом.

Интерес к химии макромономеров на основе физиологически активных веществ (ФАВ), т. е. биополимеров, имеющих в своем составе реакционноспособные связи C=C, возник в связи с их успешным применением в качестве промежуточных продуктов, используемых для химической модификации синтетических полимеров ФАВ, получения водорастворимых конъюгатов ФАВ с синтетическими гидрофильными мономерами и полимерами и т. д. [1, 2].

Изучение основных закономерностей процессов полимеризации с участием макромономеров на основе ФАВ открывает новые возможности для их дальнейшего использования в биоорганической и препаративной биохимии.

В работе [3] была описана реакция модификации гепарина, приводящая к получению его производного, способного к полимеризации, однако химическая структура этого продукта строго доказана не была.

Цель настоящей работы — синтез, изучение структуры и физико-химическая характеристика макромономера на основе природного антикоагулянта крови гепарина и изучение основных закономерностей радикальной полимеризации с его участием.

Использованы коммерческие препараты мукозного и легочного гепаринов с удельными антикоагуляционными активностями 175 и 140 ЕД/мг соответственно.

N-десульфатирование гепарина проводили согласно работе [4]. Навеску гепарина растворяли в дистиллированной воде (1:50), с помощью 1 н. HCl доводили pH раствора до 1,3, выдерживали в термостате при 60°. После гидролиза раствор нейтрализовали 1 н. NaOH до pH 6,0, затем добавляли 2,5 мл 2,5 м. ацетатного буферного раствора (pH 6,0). Гидролизованный продукт осаждали трехкратным избыtkом этилового спирта, осадок отделяли центрифугированием, обрабатывали этанолом, эфиrom и сушили при 40° в течение 2 ч. Полученный N-десульфатированный гепарин использовали в дальнейшем для синтеза макромономера. Подробности синтеза макромономера гепарина будут опубликованы отдельно.

Гомо- и сополимеризацию макромономера гепарина проводили в водно-солевых растворах в атмосфере аргона при инициировании окислительно-восстановительной системой персульфат аммония — N,N,N',N'-тетраметилэтilentиандиамин. Продукты реакции обессоливали на колонке с сефадексом G-25, добавляли ацетатный буфер и осаждали по указанной выше методике.

Электрофорез образцов гепарина и его производных проводили в ПАА-геле по методу Лэмли [5] на приборе GE-4 II «Фармация» (Швеция). Продукты проявляли 1%-ным раствором азурита III в 7%-ной уксусной кислоте.

ММ образцов полигепарина определяли методом светорассеяния на приборе «Малиер» (Англия) с многобитовым 64-канальным коррелятором K-7025, а также на аналитической ультраконцентрифуге 3180 фирмы МОМ (Венгрия) с использованием полуавтоматической системы обработки седиментационных данных на ЭВМ «Аспект-2000» [6].

Спектры ЯМР ^{13}C растворов исследуемых образцов в D₂O регистрировали на спектрометрах WP-80DS и WM-250 фирмы «Брукер» (ФРГ) с рабочими частотами

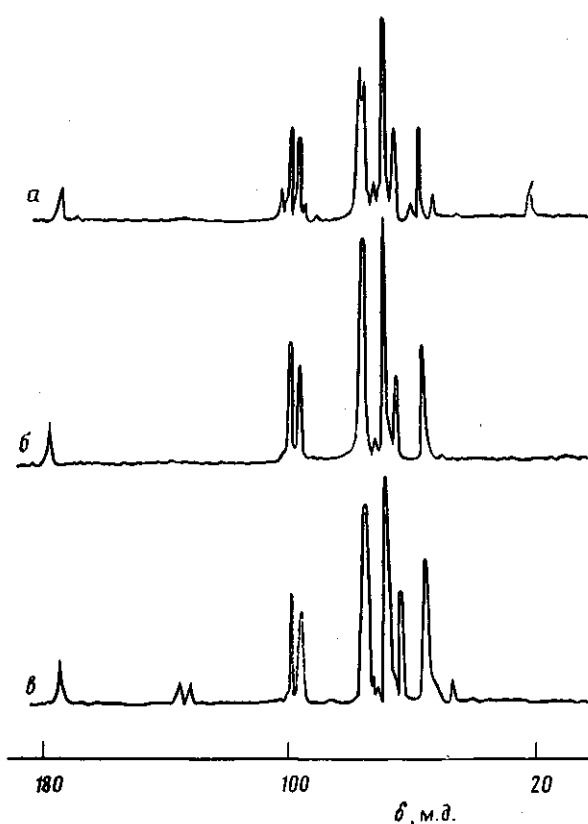


Рис. 1. Спектры ЯМР ^{13}C (20,115 МГц) растворов гепарина в D_2O с полным подавлением протонов: *a* – нативный мукозный гепарин, *b* – нативный легочный гепарин, *c* – макромономер легочного гепарина

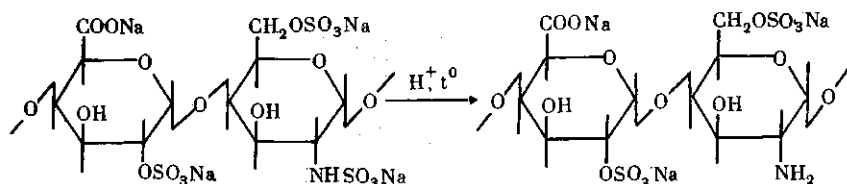
20,115 и 62,895 МГц. Условия регистрации спектров в режиме полного подавления спин-спинового взаимодействия с протонами: объем памяти на накопление спектра 4 К, на воспроизведение 2 К, машинное разрешение 1,8 Гц, длительность импульса 7 мкс (90°), интервал между импульсами 0,546 с, температура 70°, количество накоплений $(1,0-1,3) \cdot 10^5$. Хим. сдвиги отсчитывали от сигнала внешнего стандарта (ДМСО) и пересчитывали в δ -шкалу по формуле $\delta_{\text{МС}} = \delta_{\text{ДМСО}} + 40,5$.

ММР сополимеров анализировали с помощью высокоеффективной жидкостной хроматографии в режиме гель-фильтрации в 0,02 м. фосфатном буфере ($\text{pH} 8,0$) на колонках 4000+5000 PW «Тозсада» (Япония). Скорость элюирования 0,9 мл/мин, детектирование алюата осуществляли с помощью рефрактометрического детектора и детектора малоуглового лазерного светорассеяния КМХ-6 «Хроматикс» (США).

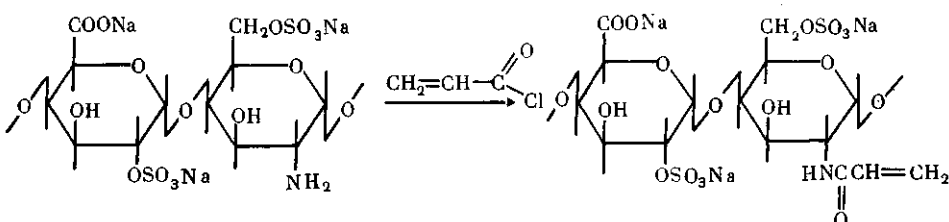
Число двойных связей в молекуле модифицированного гепарина определяли путем титрования их водным раствором брома в присутствии бромида калия [7].

На рис. 1, *a* и *b* представлены ЯМР ^{13}C спектры растворов образцов гепарина из мукозы свиней и легких крупного рогатого скота в D_2O . Различия спектров обусловлены присутствием в составе мукозного гепарина небольшого числа N-ацетильных групп, которые в ряде случаев препятствуют строгому доказательству химического строения аминопроизводных гепарина. Поэтому строение макромономера гепарина и его полимерных производных изучали в основном на примере гепарина из легких крупного рогатого скота. В спектре легочного гепарина отсутствует сигнал при 55,1 м.д., обусловленный резонансом ядер углерода C-2 остатка 2-дезокси-2-амино- α -*D*-глюкопиранозил-6-сульфата [4, 8], что свидетельствует о практически 100%-ном сульфатировании всех аминогрупп в молекуле нативного гепарина. В ЯМР ^{13}C спектре мукозного гепарина также не обнаружено сигнала ядер углерода C-2 со свободными аминогруппами. Поэтому непосредственное введение связи C=C в молекулу гепарина (независимо от его видовой принадлежности) неосуществимо.

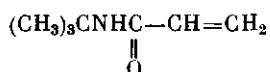
Ранее в работе [4] было показано, что кислотный гидролиз гепарина при повышенных температурах приводит к частичному N-десульфатированию остатков 2-дезокси-2-сульфамино- α -D-глюкопиранозил-6-сульфата



Глубина протекания этой реакции определяется pH среды, температурой и временем гидролиза. При глубоких степенях превращения наряду с N-десульфатированием гепарина при кислотном гидролизе происходит и частичное O-десульфатирование, хотя скорость этой реакции существенно ниже [4]. После кислотного гидролиза гепарина становится возможным ацилирование свободных аминогрупп остатков 2-дезокси-2-амино- α -D-глюкопиранозил-6-сульфата хлорангидридом акриловой кислоты (ХАК).



В ЯМР ^{13}C спектрах ацилированных образцов легочного и мукозного гепаринов проявляются сравнительно широкие сигналы при 131,8 и 128,7 м.д., а также слабый сигнал при 170,2 м.д. Путем анализа спектров ЯМР ^{13}C модельного соединения



(режимы съемки «broad band» и «gated decoupling») и литературных данных [9] указанные сигналы следует отнести к резонансу ядер углерода группы $-\text{CH}=$, $\text{CH}_2=$ и $-\text{C}(\text{O})-\text{CH}=$ соответственно. Наличие указанных групп в составе полисахарида свидетельствует о протекании реакции ацилирования (рис. 1, в).

Имеет место корреляция числа вводимых в гепарин двойных связей с временем кислотного гидролиза при pH 1,3 и 60°. При увеличении времени десульфатирования (т. е. с ростом количества свободных аминогрупп в молекуле гепарина) число вводимых связей C=C также увеличивается.

Из сравнения кривых ММР (рис. 2) и электрофорограмм (рис. 3) исходного гепарина и его макромономера следует, что в процессе синтеза макромономера гепарина основная цепь не претерпевает химических превращений.

Методом ЯМР ^{13}C исследовано строение продукта гомополимеризации макромономера гепарина (рис. 4). Наблюдается исчезновение сигналов, характерных для связи C=C, что свидетельствует об их участии в реакции. Появление группы слабых сигналов в интервале 32–45 м.д., вероятно, обусловлено резонансом ядер углерода образованной алифатической цепи.

Основные закономерности радикальной гомополимеризации макромономера гепарина были изучены с использованием образца предварительно десульфатированного и ацилированного гепарина, содержащего в среднем 1,3–1,5 связей C=C на молекулу (расчет производили на \bar{M}_n). Гомопо-

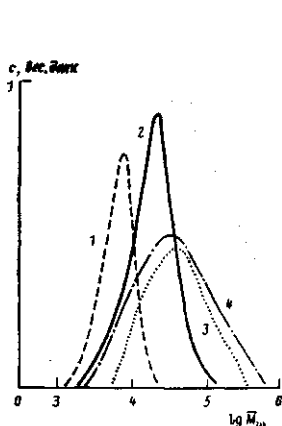


Рис. 2

Рис. 2. Кривые ММР нативного гепарина и его макромономера (1); полигепарина, полученного при концентрации инициатора 0,08 (2); 0,3 (3) и 0,6% (4)

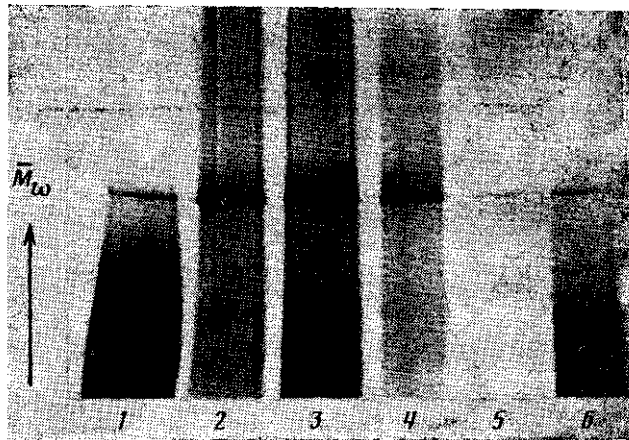


Рис. 3

Рис. 3. Электрофорограммы образцов нативного гепарина (1); полигепарина с $\bar{M}_w = 8 \cdot 10^4$ (2); $2,9 \cdot 10^4$ (3) и $1,6 \cdot 10^4$ (4); сополимера гепарин – акриламид (5) и макромономера гепарина (6)

лимеризация макромономера гепарина (независимо от видовой принадлежности) сопровождается ростом ММ. Доказательством этого служат приведенные на рис. 2 кривые ММР (степень полимеризации 10 и более) и на рис. 3 – электрофорограммы образцов полигепарина. Методом светорассеяния была получена зависимость \bar{M}_w продуктов гомополимеризации макромономера от концентрации инициатора (рис. 5). Детальный механизм этой реакции нуждается в специальном исследовании с учетом передачи цепи и рекомбинационных процессов. Как следует из кривых ММР образцов полигепарина, полученных при различных соотношениях мономер : инициатор (рис. 2), данных таблицы и рис. 5, экстремальный характер этой зависимости можно объяснить следующим образом. На первом участке кривой образуются в основном только ди- и тримеры.

Возрастание ММ продуктов реакции при увеличении концентрации инициатора (второй участок кривой), по-видимому, связано с укрупнением гепарина вследствие вступления в реакцию непрореагировавших ранее двойных связей С=С и активной передачи цепи. При больших концентрациях инициатора вновь образуются продукты с низкой степенью полимеризации, вероятно, вследствие большей вероятности гибели макрорадикалов гепарина на радикалах инициатора.

Зависимость молекулярной массы и ММР образцов полигепарина от концентрации инициатора

Образец	Концентрация инициатора, вес. %	$\bar{M}_w \cdot 10^{-3}$	\bar{M}_w/\bar{M}_n	\bar{M}_z/\bar{M}_n
Нативный (мукозный)	–	8,8	1,2	1,8
Полигепарин	0,08	35,0	2,0	6,0
	0,3	81,0	2,4	7,6
	0,6	54,0	4,1	12,8
Полигепарин (легочный) *	0,07	20,0	–	–

* Определено аналитическим ультрацентрифугированием.

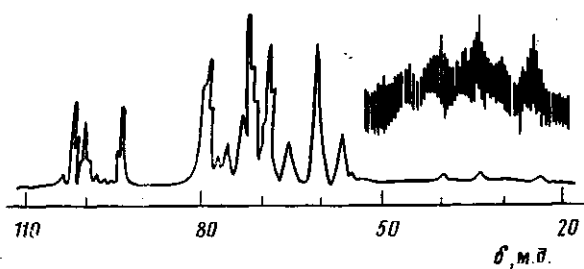


Рис. 4. Спектр ЯМР ^{13}C (62,859 МГц) раствора полигепарина в D_2O с полным подавлением протонов

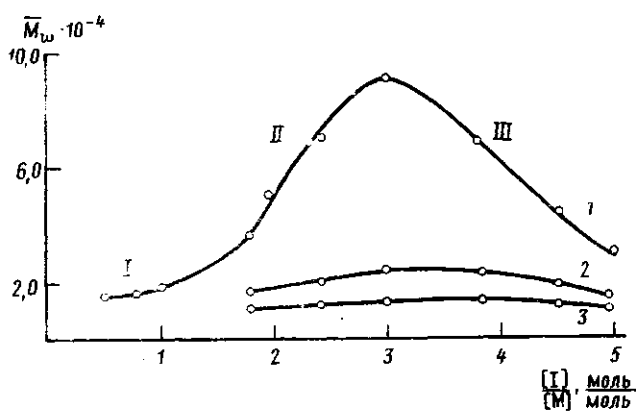


Рис. 5. Зависимость \bar{M}_w полигепарина от концентрации инициатора. Концентрация NaCl 0,35 (I); 0,2 (II) и 0,1 моль/л (III)

Известно, что в водных растворах гепарин ведет себя как типичный анионный полиэлектролит. Представленные на рис. 5 зависимости характеризуют влияние ионной силы раствора на реакционную способность введенной в гепарин связи $\text{C}=\text{C}$. При низких ионных силах реакционной смеси реакции макромономера гепарина практически не идут, что, по всей видимости, обусловлено взаимным отталкиванием одноименно заряженных молекул гепарина. С ростом ионной силы реакционной смеси происходит экранирование отрицательных зарядов, что приводит к увеличению проницаемости клубков и доступности связей $\text{C}=\text{C}$ для полимеризации. Подобный эффект наблюдали и при полимеризации низкомолекулярных ионизующихся мономеров [10].

Макромономер гепарина легко вступает в реакцию радикальной сополимеризации с гидрофильными мономерами, в частности с акриламидом, при различных соотношениях мономеров и различных ионных силах реакционной смеси с образованием высокомолекулярных (рис. 3) сополимеров по аналогии с макромономерами на основе альбумина и трипсина [11, 12].

ЛИТЕРАТУРА

- Платэ Н. А., Валуев Л. И., Чупов В. В. // Высокомолек. соед. А. 1985. Т. 27. № 10. С. 2019.
- Платэ Н. А., Валуев Л. И., Чупов В. В. // Высокомолек. соед. А. 1980. Т. 22. № 9. С. 1963.
- Платэ Н. А., Валуев Л. И., Гумирова Ф. Х. // Докл. АН СССР. 1979. Т. 244. № 6. С. 1505.
- Свергун В. И., Смирнов М. Б., Бушин А. П., Требоганов А. Д., Кожевникова И. В., Панов В. П. // Хим. фарм. журн. 1979. Т. 13. № 3. С. 59.
- Laemml U. K. // Nature. 1970. V. 227. P. 680.
- Дубровин В. И., Лавут Е. Э., Панов В. П. // Хим.-фармацевт. журн. 1984. № 11. С. 1382.
- Organic Analysis. V. III. N. Y., 1956.

8. Сеерзун В. И., Смирнов М. Б., Панов В. П. // Хим.-фармацевт. журн. 1979. Т. 13. № 4. С. 92.
9. Леви Т., Нельсон Г. // Руководство по ядерно-магнитному резонансу углерода-13. М., 1975.
10. Топчиеv Д. А., Кабанов В. А. // Полимеризация ионизующихся мономеров. М., 1975.
11. Платэ Н. А., Постников В. А., Лукин Н. Ю., Эйсмонт М. Ю., Грудкова Г. // Высокомолек. соед. А. 1982. Т. 24. № 11. С. 2326.
12. Платэ Н. А., Малых А. В., Ужинова Л. Д., Можаев В. В. // Высокомолек. соед. А. 1989. Т. 31. № 1.

Московский государственный
университет им. М. В. Ломоносова

Поступила в редакцию
11.II.1988

**STRUCTURE OF HEPARIN MACROMONOMER AND FEATURES
OF ITS RADICAL POLYMERIZATION**

**Platé N. A., Malykh A. V., Uzhinova L. D., Panov V. P.,
Rozenfel'd M. A.**

S u m m a r y

Heparin macromonomer has been synthesized, its structure and reactivity in radical polymerization have been studied. The influence of the initiator concentration and ionic strength of a solution on MM and MMD of homopolymers was evaluated. The possibility of radical copolymerization of the heparin macromonomer with acrylamide was shown.